

Valeur Thermodynamique : Réconcilier le Consensus de Nakamoto avec l'Énergie d'Odum et la Monnaie Idéale de Nash

Pascal Ranaora*

Information Physics Institute - Chercheur Indépendant, Sydney, Australie

Abstract

L'économie dominante a longtemps fonctionné comme un système clos, ignorant les contraintes thermodynamiques mises en évidence par Nicholas Georgescu-Roegen [4]. Cet article propose une définition biophysique de la valeur monétaire, intégrant le concept d'**Énergie** (énergie incorporée) de Howard T. Odum au mécanisme cryptographique de preuve de travail introduit par Satoshi Nakamoto. Nous soutenons que Bitcoin fonctionne comme une **monnaie biophysique** en ancrant la base monétaire aux lois de la thermodynamique, en particulier le **Principe de Puissance Maximum**. De plus, nous démontrons que cet étalon adossé à l'énergie satisfait aux conditions de la **Monnaie Idéale Asymptotique** de John Nash [9], fournissant une métrique de valeur stable et résistante à la corruption. Enfin, nous discutons des implications de cette monnaie thermodynamique dans le contexte de l'économie de la décroissance et de la post-croissance [12], en suggérant qu'une masse monétaire finie est un prérequis pour une économie finie.

Keywords: Économie Biophysique, Bitcoin, Énergie, Entropie, Monnaie Idéale, Décroissance

1. Introduction : Le Schisme Thermodynamique

La pathologie centrale de l'Anthropocène n'est pas seulement industrielle ; elle est monétaire. Depuis un demi-siècle, l'économie mondiale fonctionne sur un système de monnaie "fiat" — une monnaie créée par décret, détachée de la réalité physique. Cela a créé un schisme ontologique fondamental : alors que la biosphère fonctionne selon les lois strictes et non négociables de la thermodynamique [4], le système financier opère sur une logique d'élasticité infinie et d'expansion

*Auteur correspondant

Email address: pascal.ranaora@informationphysicsinstitute.net (Pascal Ranaora)

abstraite. Cet article postule que la crise environnementale est, à la base, une crise comptable. Lorsque l'unité de compte (la monnaie) peut être étendue sans dépense d'énergie correspondante, les signaux de prix se détachent des contraintes physiques. Ce détachement alimente un "impératif de croissance" qui ignore la loi de l'entropie, conduisant à l'épuisement rapide des stocks à faible entropie (ressources) et à l'accumulation de flux à forte entropie (pollution).

1.1. La Critique Biophysique et le Problème du Stockage

Les économistes écologiques ont depuis longtemps reconnu cette dissonance. [17] et plus tard [3] ont soutenu que la monnaie agit comme un droit de tirage sur l'énergie. Si ces droits croissent de manière exponentielle (via les intérêts composés et l'émission de dette) alors que le flux d'énergie du soleil reste constant, une rupture est inévitable. Pour résoudre cela, des chercheurs comme Howard T. Odum ont proposé "l'Étalon-Énergie" — une monnaie basée sur le Joule ou le Watt-heure. La logique était saine : si la monnaie représente l'énergie, personne ne peut réclamer plus de richesse que l'écosystème ne peut en fournir. Cependant, cette proposition s'est heurtée à un obstacle logistique insurmontable : **L'énergie est difficile à stocker et à transporter sans perte.** La deuxième loi de la thermodynamique dicte que l'énergie se dissipe. Une monnaie basée sur l'électricité stockée (batteries) "pourrait" (perdrait sa charge), ce qui en ferait une mauvaise réserve de valeur comparée à l'or inerte ou à la monnaie fiat abstraite.

1.2. La Transformation de Nakamoto

Cet article explore l'hypothèse selon laquelle la solution à ce dilemme biophysique est apparue le 31 octobre 2008, non pas dans le domaine de l'économie, mais dans celui de la cryptographie. L'invention par Satoshi Nakamoto du mécanisme de consensus par "Preuve de Travail" (Proof-of-Work) [8] fournit le pont technologique manquant. En exigeant une dépense vérifiable d'énergie (cycles CPU) pour écrire dans un registre, Nakamoto n'a pas créé une nouvelle forme de stockage d'énergie ; il a créé un mécanisme pour *cristalliser* l'énergie en information. Ce processus transforme le travail cinétique et électrique en durabilité numérique, créant effectivement une "marchandise synthétique" dont le ratio stock-flux est régi par la physique plutôt que par la politique.

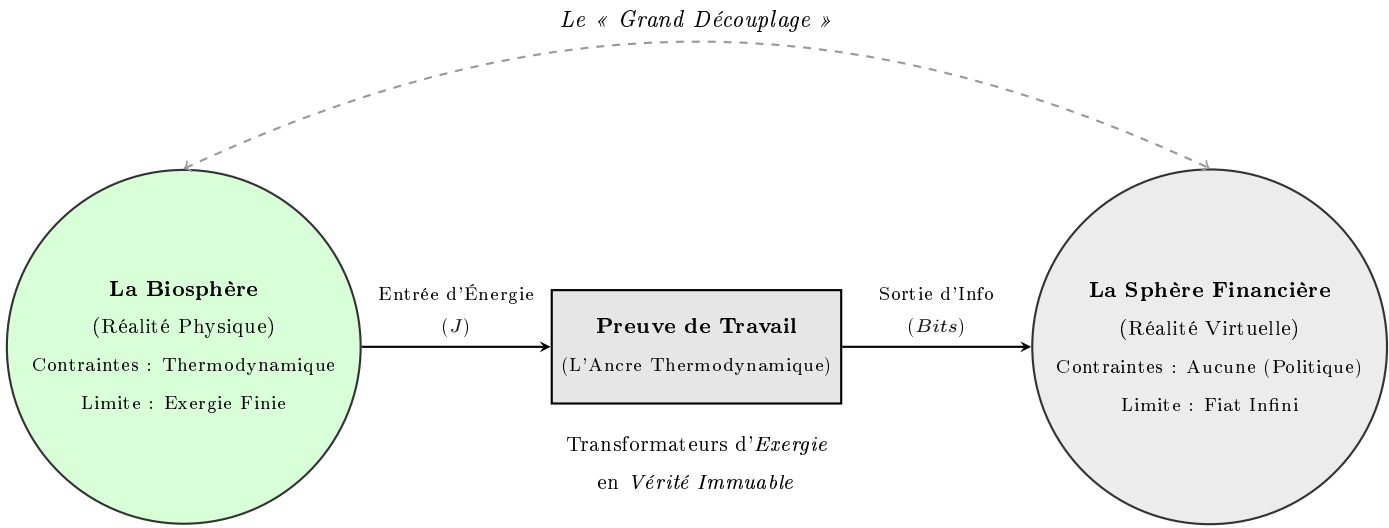


Figure 1: Le Pont de Nakamoto : Reconnecter les Sphères Financière et Biophysique via la Preuve de Travail Thermodynamique.

1.3. Champ d'Investigation

Nous soutenons que Bitcoin fonctionne comme une monnaie "biosphérique" en ancrant la base monétaire au Principe de Puissance Maximum [11]. De plus, nous démontrons que cet étalon adossé à l'énergie satisfait aux conditions de la "Monnaie Idéale Asymptotique" de John Nash [9], fournissant une métrique de valeur résistante à la corruption qui est compatible avec une économie de post-croissance ou d'état stationnaire [12]. Les sections suivantes formaliseront la relation entre le Hashrate, l'Énergie et la Stabilité Économique.

2. Thermodynamique et Valeur Économique

La proposition fondamentale de l'économie biophysique est que le processus économique n'est pas une boucle fermée d'échange abstrait de valeur, mais un système thermodynamique ouvert encastré dans la biosphère [4]. Pour définir rigoureusement la "valeur" sans interférence politique, nous devons nous replier sur les lois absolues de la physique.

45 2.1. *La Constitution Thermodynamique*

L'économie néoclassique traditionnelle modélise l'économie comme un pendule oscillant vers l'équilibre. En contraste, la bioéconomie traite l'économie comme une structure dissipative. Nous postulons qu'un système monétaire sain doit être compatible avec les quatre lois fondamentales de la thermodynamique :

- 50 1. **Le Principe Zéro (Équilibre)** : Si deux systèmes sont en équilibre thermique avec un troisième système, ils sont en équilibre l'un avec l'autre. *Corollaire Économique* : La découverte des prix agit comme mécanisme d'équilibrage. Cependant, dans un système fiat, le "troisième système" (le registre de la banque centrale) est variable, empêchant un véritable équilibre entre les biens et la monnaie.
- 55 2. **La Première Loi (Conservation)** : L'énergie ne peut être ni créée ni détruite, seulement transformée.

$$\Delta U = Q - W \quad (1)$$

Où ΔU est la variation de l'énergie interne, Q est la chaleur ajoutée, et W est le travail effectué. *Corollaire Économique* : La valeur ne peut pas être créée *ex nihilo*. L'émission de monnaie fiat ($\Delta M > 0$) sans dépense d'énergie correspondante ($\Delta E = 0$) viole la conservation de la valeur, entraînant la dilution des créances existantes (inflation).

- 60 3. **La Deuxième Loi (Entropie)** : L'entropie d'un système isolé augmente toujours.

$$\Delta S_{total} \geq 0 \quad (2)$$

Corollaire Économique : Toute activité économique produit des déchets. Les déchets à haute entropie sont le sous-produit inévitable de la mise en ordre des ressources à basse entropie. Un système monétaire qui exige une croissance infinie sur une planète finie ignore la barrière de l'entropie décrite par [4].

- 65 4. **La Troisième Loi (Zéro Absolu)** : L'entropie d'un système s'approche d'une valeur constante à mesure que la température s'approche du zéro absolu. *Corollaire Économique* : L'information parfaite (entropie nulle) nécessite une énergie infinie pour être acquise. Le mécanisme de consensus de Bitcoin reconnaît cela en exigeant une dépense d'énergie strictement non nulle pour approximer un historique de registre "vrai".

2.2. L'Énergie d'Odum et l'Emjoule Solaire (sej)

Alors que la thermodynamique décrit les contraintes, Howard T. Odum a fourni la métrique comptable : **L'Énergie** (Écrite avec un 'm', pour "Energy Memory" / Mémoire Énergétique). Odum a soutenu que toutes les formes d'énergie ne sont pas égales. Un Joule de lumière solaire n'est pas équivalent à un Joule d'électricité, ni à un Joule de travail humain. Pour les comparer, nous devons retracer toute énergie jusqu'à sa source : le Soleil. Cela nous donne l'**Emjoule Solaire (sej)**.

2.2.1. Définition de l'Unité

L'Emjoule Solaire est l'unité d'énergie disponible (exergie) d'un type (généralement solaire) qui est requise, directement et indirectement, pour fabriquer un produit ou un service. La relation est définie par la **Transformité** (τ), qui mesure la "qualité" ou la concentration de l'énergie :

$$Em = \sum_{i=1}^n (E_i \times \tau_i) \quad (3)$$

Où :

- Em est l'Énergie (en sej).
- E_i est l'énergie disponible de l'intrant i (en Joules).
- τ_i est la Transformité de l'intrant i (en sej/J).

Par exemple, les transformités moyennes mondiales sont approximativement :

- Lumière Solaire : 1 sej/J (Par définition).
- Énergie Chimique (Charbon) : $\approx 40,000 sej/J$.
- Énergie Électrique : $\approx 160,000 sej/J$.

90 2.3. Le Principe de Puissance Maximum comme Consensus

Odum a proposé une "Quatrième Loi" de la thermodynamique pour les systèmes auto-organisés : le **Principe de Puissance Maximum**. Il stipule que les systèmes qui prévalent sont ceux qui développent des conceptions pour maximiser l'absorption d'énergie et l'utiliser efficacement.

$$P_{max} = \frac{d(Em)}{dt} \quad (4)$$

L'algorithme de Preuve de Travail de Bitcoin est une application directe de ce principe. Le réseau
95 crée un marché compétitif pour l'énergie "échouée" ou "gaspillée" (haute entropie), l'améliorant en
"espace de registre immuable" (basse entropie). L'Algorithme d'Ajustement de la Difficulté garantit
que le système s'organise pour absorber le maximum de puissance disponible afin de sécuriser son
historique.

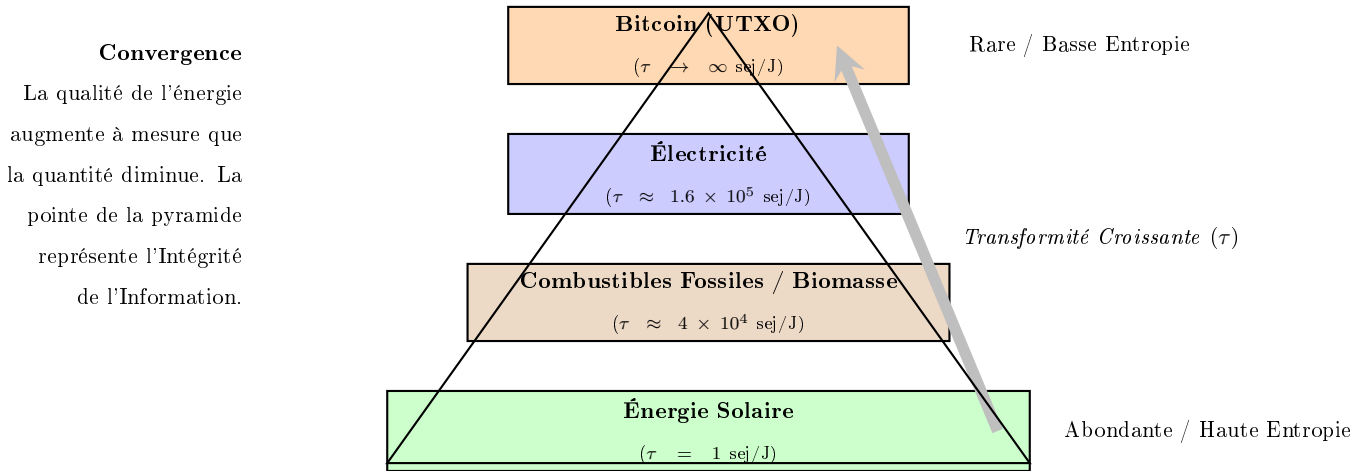


Figure 2: La Hiérarchie Énergétique d'Odum appliquée aux Actifs Cryptographiques. Bitcoin se situe au sommet, représentant la plus forte concentration de "Mémoire Énergétique" (Énergie) par unité d'information.

En analysant Bitcoin à travers le prisme d'Odum, nous conceptualisons sa transformité :

$$\tau_{BTC} \propto \frac{\text{Entrée Totale d'Emergy (sej)}}{\text{Sortie d'Information (Satoshis)}} \quad (5)$$

100 Cela établit Bitcoin non pas comme une monnaie "virtuelle", mais comme **l'une des matières premières les plus denses en énergie de l'histoire de la civilisation humaine**.

2.4. Calcul de la Bit-Énergie : Dérivation de τ_{BTC}

Pour valider l'affirmation selon laquelle Bitcoin est un étalon énergétique, nous devons passer de la description qualitative à l'analyse quantitative. Nous appliquons l'*Algèbre de l'Énergie* d'Odum 105 pour calculer la transformité spécifique de la production du réseau. Nous définissons le "produit" du réseau Bitcoin non pas comme les blocs eux-mêmes (qui ne sont que des conteneurs), mais comme l'**ensemble des Sorties de Transactions Non Dépensées (UTXO)** — l'état sécurisé du registre. La plus petite unité de cet état est le Satoshi (10^{-8} BTC).

2.4.1. La Dérivation de la Transformité

¹¹⁰ La Transformité d'un Satoshi, notée τ_{sat} , est le rapport entre l'afflux total d'Énergie du système et la production informationnelle spécifique.

$$\tau_{sat} = \frac{\dot{E}_{net} \times \tau_{elec}}{\dot{Q}_{BTC}} \quad (6)$$

Où :

- \dot{E}_{net} est la consommation d'énergie continue du réseau (Watts ou Joules/sec).
- τ_{elec} est la transformité solaire du mix électrique alimentant le réseau (sej/J).
- \dot{Q}_{BTC} est le taux d'émission de nouvelles unités (Satoshis/sec).

Cependant, parce que le taux d'émission (\dot{Q}_{BTC}) est fondamentalement déflationniste (réduit de moitié tous les 210 000 blocs), tandis que l'apport énergétique a tendance à augmenter ou à se stabiliser, la transformité de Bitcoin est conçue pour augmenter de manière asymptotique au fil du temps. Cela en fait une réserve de valeur *hyper-déflationniste* en termes thermodynamiques.

¹²⁰ *La Transition vers le Marché des Frais (Fee Market).* Un scepticisme légitime concerne la pérennité de cette transformité lorsque $\lim_{t \rightarrow \infty} \dot{Q}_{BTC} = 0$. Il est crucial de préciser que dans notre modèle, l'apport énergétique global (E_{net}) ne s'effondrera pas avec la fin de la subvention de bloc. À mesure que l'émission se tarit, la sécurité thermodynamique sera maintenue par la vitesse et le coût de l'espace de bloc (les frais de transaction). L'espace de bloc étant strictement limité, la demande pour enregistrer des informations sur ce registre biocentrique prendra le relais de la subvention, maintenant ainsi la barrière d'Énergie.

2.4.2. Estimation Empirique (Époque 2026)

Nous utilisons les conditions aux limites et les points de données caractéristiques suivants de l'ère post-4ème Halving (2024-2028) :

¹³⁰ *Étape 1 : Calcul de la Consommation Totale d'Énergie (P).* La consommation d'énergie est le produit du nombre total de hachages par seconde et des joules requis par hachage.

$$P = H \times \eta \quad (7)$$

$$P = (6.5 \times 10^{20} \text{ h/s}) \times (2.6 \times 10^{-11} \text{ J/h}) = 1.69 \times 10^{10} \text{ W} \approx 16.9 \text{ GW} \quad (8)$$

Paramètre	Symbole	Valeur (Approx)
Hashrate du Réseau	H	650 EH/s (6.5×10^{20} h/s)
Efficacité Moy. du Parc	η	26 J/TH (2.6×10^{-11} J/h)
Transformité Réseau Mondial	τ_{elec}	2.0×10^5 sej/J [11]
Récompense de Bloc	R	3.125 BTC
Intervalle de Bloc	t	600 secondes

Table 1: Paramètres thermodynamiques pour le Réseau Bitcoin (2026).

Étape 2 : Calcul de l'Énergie par Bloc (E_{block}). Sur l'intervalle standardisé de blocs de 10 minutes ($t = 600s$) :

$$E_{block} = P \times t = 1.69 \times 10^{10} \text{ J/s} \times 600 \text{ s} = 1.014 \times 10^{13} \text{ Joules} \quad (9)$$

¹³⁵ Pour mettre cela en perspective, sécuriser un seul bloc nécessite l'équivalent énergétique d'environ 1,7 kilotonne de TNT, ou la consommation électrique quotidienne d'une petite ville.

Étape 3 : Conversion en Emjoules Solaires (Em_{block}). Nous appliquons maintenant le facteur de transformité. Puisque l'électricité est un vecteur énergétique de haute qualité dérivé de sources de moindre qualité (charbon, hydroélectricité, solaire), nous multiplions par τ_{elec} (environ 2.0×10^5 sej/J).

$$Em_{block} = E_{block} \times \tau_{elec} \quad (10)$$

$$Em_{block} = (1.014 \times 10^{13} \text{ J}) \times (2.0 \times 10^5 \text{ sej/J}) = 2.028 \times 10^{18} \text{ sej} \quad (11)$$

Étape 4 : L'Énergie Solaire d'un Satoshi. Enfin, nous distribuons cette "Mémoire Énergétique" massive sur l'offre nouvellement émise. La récompense de bloc est de 3.125 BTC, ce qui équivaut à 3.125×10^8 Satoshis.

$$\text{sej/sat} = \frac{Em_{block}}{3.125 \times 10^8} \quad (12)$$

$$\text{sej/sat} = \frac{2.028 \times 10^{18}}{3.125 \times 10^8} \approx 6.49 \times 10^9 \text{ sej/sat} \quad (13)$$

2.4.3. Résultat et Interprétation

Notre calcul donne un résultat saisissant :

1 Satoshi \approx 6,5 Milliards d'Emjoules Solaires

Ce nombre est le "Prix Thermodynamique" de la monnaie. Il représente la quantité de lumière solaire ancienne, de pression géologique et de raffinage industriel requise pour forger une seule unité de vérité numérique. Contrairement à la monnaie fiat, où le coût de production est négligeable (de l'encre sur du papier ou des décalages d'entiers dans une base de données SQL), le Satoshi possède un "poids" biophysique intrinsèque. Dans la hiérarchie d'Odum, cela place Bitcoin loin au-dessus de l'or ($\tau_{or} \approx 10^9$ sej/g) en termes de densité énergétique. C'est, effectivement, de la *lumière solaire cristallisée*.
155

Cette haute transformité explique la "Dureté" de la monnaie. Pour forger un bloc contrefait, un attaquant doit générer une quantité équivalente d'Énergie (10^{18} sej), une tâche qui devient exponentiellement plus difficile à mesure que le réseau évolue, satisfaisant ainsi l'exigence d'irréversibilité de la Deuxième Loi de la Thermodynamique.

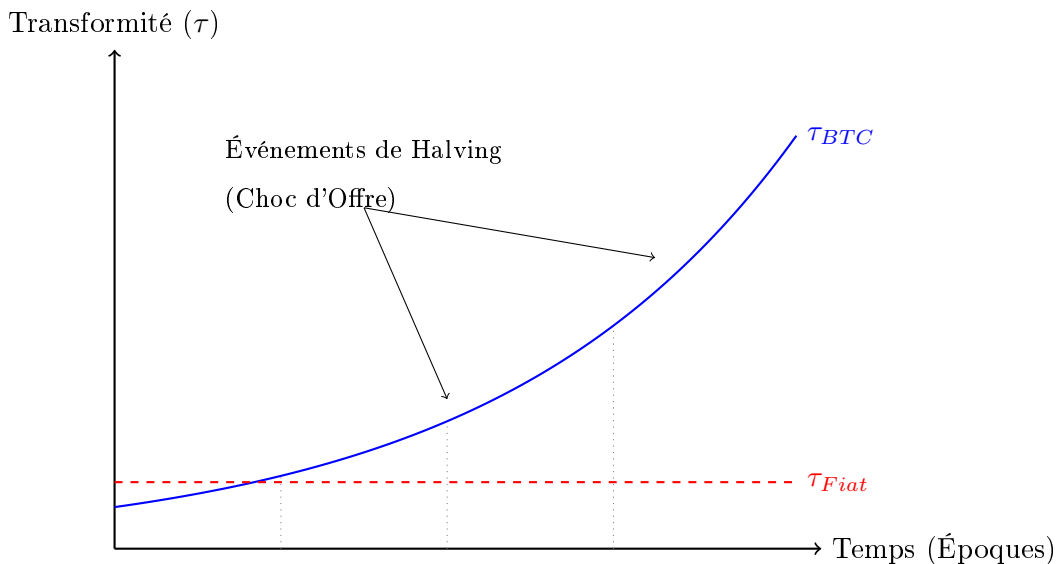


Figure 3: Les trajectoires divergentes de la Transformité Monétaire. À mesure que la subvention est divisée par deux, l'énergie par unité (Énergie) double, créant une pression à la hausse sur la valeur thermodynamique.

¹⁶⁰ 2.4.4. Tableau Comparatif de Transformité

Pour contextualiser le "poids" thermodynamique d'un Satoshi, nous comparons sa transformité (τ) à des références biophysiques standard fournies par [11] et des audits énergétiques récents de la blockchain.

Type de Ressource	Transformité (τ) [sej/J]	Description Thermodynamique
Insolation Solaire	1.0	L'unité de base. Basse qualité, haute entropie.
Énergie Éolienne	$\approx 1.5 \times 10^3$	Concentration cinétique des gradients de chaleur solaire.
Combustibles Fossiles (Charbon)	$\approx 4.0 \times 10^4$	Compression géologique de la biomasse ancienne.
Énergie Électrique	$\approx 1.7 \times 10^5$	Vecteur énergétique raffiné, basse entropie.
Or (Extraction)	$\approx 3.4 \times 10^9$	Rareté crustale élevée, coût d'extraction mécanique.
Travail Humain	$\approx 6.8 \times 10^6$	Complexité métabolique et investissement éducatif.
Monnaie Fiat (\$)	$\approx 1.0 \times 10^2$	Négligeable. Coût du papier/encre ou des ticks de serveur.
Bitcoin (2026)	$\approx 6.5 \times 10^9$	L'apex. Information pure sécurisée par la convergence électrique mondiale.

Table 2: La Hiérarchie de la Qualité de l'Énergie. Notez que Bitcoin surpassé l'Or en transformité, indiquant qu'il est une réserve de valeur plus "condensée" par unité.

2.5. Action de Nakamoto et Mise à l'Échelle Dimensionnelle

¹⁶⁵ Le calcul statique de τ_{BTC} se heurte à un paradoxe physique : à mesure que la lithographie des semi-conducteurs s'améliore selon la loi de Moore (et s'approche de la limite de Landauer), les joules requis par hash (η) diminuent de manière exponentielle. Pour prouver que le réseau maintient sa densité thermodynamique en dépit des avancées matérielles, nous devons formaliser le couplage

énergie-temps du système.

¹⁷⁰ Afin d'établir un isomorphisme physique strict et de définir l'échelle énergétique du système, nous introduisons la constante fondamentale de cette théorie, l'**Action de Nakamoto** (κ_N). Cette constante possède les dimensions strictes d'une action physique ($J \cdot s$).

¹⁷⁵ Par analogie avec la relation de Planck ($E = h\nu$), nous relions l'**Énergie d'État** macroscopique effective $E_{eff}(t)$ du réseau de consensus à sa fréquence calculatoire globale, le Hashrate $\nu(t)$ (mesuré en s^{-1}) :

$$E_{eff}(t) = \kappa_N(t) \cdot \nu(t) \quad [\text{Joules}] \quad (14)$$

Justification Épistémologique : L'Hachage comme Entité Physique. La formulation de l'Action de Nakamoto soulève un défi épistémologique profond : comment une opération mathématique algorithmique (un hachage SHA-256) peut-elle être assimilée à une entité physique possédant les dimensions d'une action spatio-temporelle ($J \cdot s$) ? La réponse réside à l'intersection de la thermodynamique computationnelle et de la théorie de l'information. En vertu du Principe de Landauer [7], l'effacement logique d'un bit d'information dissipe obligatoirement une quantité d'énergie sous forme de chaleur ($E \geq k_B T \ln 2$). L'algorithme de Preuve de Travail, fonctionnant comme une recherche exhaustive asymétrique, impose la destruction continue d'états d'entropie logique pour isoler un hash valide. Ainsi, chaque hachage n'est pas une dimension mathématique immatérielle ou nulle, mais une transition d'état physique irréversible au sein de la grille de silicium. En divisant l'efficacité énergétique matérielle η (le coût thermodynamique par hachage) par la fréquence temporelle d'échantillonnage ν (la vitesse du réseau), l'équation capture de manière métrologique l'effort dissipatif cumulé dans le temps. κ_N n'est donc pas une simple métaphore comptable, mais l'expression thermodynamique littérale de l'information sécurisée. Ici, la dimensionnalité est strictement cohérente : $(J \cdot s) \times (s^{-1}) = \text{Joules}$. L'Action de Nakamoto $\kappa_N(t)$ agit comme une constante de couplage courante qui reflète l'efficacité thermodynamique de la couche matérielle sous-jacente, s'ajustant à la baisse à mesure que l'efficacité du matériel s'améliore.

Nous pouvons alors définir formellement l'**Action de Consensus** \mathcal{S}_{PoW} , évaluée le long de l'historique de la chaîne \mathcal{C} , comme l'intégrale temporelle de cette énergie effective :

$$\mathcal{S}_{PoW} = \int_{\mathcal{C}} E_{eff}(t) dt = \int_{\mathcal{C}} \kappa_N(t) \cdot \nu(t) dt \quad [J \cdot s] \quad (15)$$

¹⁹⁵ Cette formulation démontre que le registre ne se contente pas d'accumuler des blocs de données discrets ; il accumule de l'**Action**. En dissipant de la chaleur, le protocole abaisse l'entropie

logique du système. La "Chaîne la plus lourde" (Heaviest Chain) est donc physiquement équivalente à la trajectoire de phase qui maximise cette action accumulée, créant une barrière thermodynamique infranchissable contre la réorganisation de l'historique, indépendamment des futures efficacités matérielles.

Le Pont de Landauer : De l'Entropie de Shannon à l'Entropie Thermodynamique. L'isomorphisme entre l'information et la thermodynamique devient explicite lorsque l'on analyse la nature même d'un "bloc valide". L'algorithme d'ajustement de la difficulté exige qu'un condensat SHA-256 valide commence par un nombre défini de zéros consécutifs. En théorie de l'information de Shannon, cette contrainte représente une chute drastique de l'entropie logique : le réseau isole un état hautement improbable (hautement ordonné) parmi un espace de recherche quasi-infini (2^{256} possibilités).

Cependant, la Seconde Loi de la Thermodynamique interdit la création d'ordre (réduction d'entropie) sans une dissipation compensatoire d'énergie dans l'environnement. C'est ici que le Principe de Landauer ($E \geq k_B T \ln 2$) [7] s'applique à l'échelle macroscopique. Pour "isoler" cette information à basse entropie de Shannon (le bloc valide), les circuits intégrés (ASIC) doivent irrémédiablement effacer des milliards d'états logiques incorrects, dissipant ainsi une chaleur massive (entropie thermodynamique). Le hachage n'est donc pas un "gaspillage", mais la *quittance physique* exigée par l'univers pour la création d'un ordre informationnel absolu. Le registre Bitcoin est, fondamentalement, une structure cristalline d'information maintenue par un flux thermique continu.

2.5.1. Le Profil de Transformité Mixte

De plus, à mesure que $\kappa_N(t)$ diminue, le coût marginal de production du réseau pousse les mineurs à rechercher l'énergie la moins chère possible. Comme discuté dans la Section 4, il s'agit principalement d'énergie fatale (surplus non valorisable). Par conséquent, le τ_{elec} utilisé dans notre calcul d'Emergy (Équation 6) n'est pas une moyenne statique du réseau électrique, mais un ratio dynamique et mixte :

$$\tau_{mix}(t) = (\omega_{reseau} \times \tau_{reseau}) + (\omega_{fatale} \times \tau_{fatale}) \quad (16)$$

Où ω représente la proportion adimensionnelle du mix énergétique du réseau, soumise à la contrainte $\omega_{reseau} + \omega_{fatale} = 1$. Étant donné que $\tau_{fatale} \ll \tau_{reseau}$, le réseau agit comme un charognard entropique, chassant activement l'énergie résiduelle à faible transformité pour la traiter en information immuable à haute transformité (τ_{BTC}).

²²⁵ **3. Stabilité Asymptotique : De Nash à Nakamoto**

Alors qu'Odum fournit le cadre physique pour la valeur, le lauréat du prix Nobel John Nash a fourni le cadre de la théorie des jeux pour la stabilité. Dans sa conférence fondatrice "Ideal Money" [9], Nash a critiqué le régime post-1971 des monnaies fiat flottantes, arguant que la monnaie sujette à la "falsification politique" empêche un véritable équilibre coopératif.

²³⁰ **3.1. La Quête de l'Indice de Consommation Industrielle (ICI)**

Nash a soutenu que la valeur d'une monnaie ne devrait pas être ciblée par rapport à un indice des prix à la consommation (IPC) — qui est facilement manipulable en substituant des biens — mais par rapport à un "panier standardisé de marchandises". Il a appelé cela l'**Indice de Consommation Industrielle (ICI)**.

²³⁵ Sa logique était que le coût de la production industrielle mondiale est la seule métrique "réelle" de la valeur. Cependant, il a été confronté à un problème : la construction d'un tel indice nécessite une autorité centrale internationale pour le mesurer, ce qui réintroduit le problème de l'"agent politique" (Le Dilemme de Triffin).

3.2. L'Ajustement de la Difficulté comme ICI Décentralisé

²⁴⁰ Dans sa quête d'une *Monnaie Idéale*, John Nash a postulé l'existence d'un indice de prix (ICI) basé sur un panier de marchandises standardisées, agissant comme une ancre de valeur stable. Nous proposons que le mécanisme d'ajustement de la difficulté de Nakamoto (D) constitue la première réalisation technique et décentralisée de cet indice.

²⁴⁵ D'un point de vue économophysique, la difficulté n'est pas une valeur arbitraire, mais un paramètre asservi par rétroaction (feedback loop) à la réalité thermodynamique du monde. Nous pouvons formaliser la valeur stationnaire de la difficulté par la relation suivante :

$$D \approx \int_t^{t+\Delta t} \frac{R \cdot P_{BTC}}{C_E \cdot \eta} dt \quad (17)$$

Où R représente la récompense de bloc, P_{BTC} le prix de marché du Bitcoin, C_E le coût marginal moyen de l'énergie (\$/kWh) et η l'efficacité énergétique du matériel de minage (J/TH).

Dans cette perspective, D agit comme un **manomètre thermodynamique**. Si le coût de l'énergie (C_E) augmente mondialement, le profit marginal s'érode, entraînant une capitulation des

mineurs les moins efficaces et, *in fine*, une baisse de D pour restaurer l'équilibre. À l'inverse, une énergie abondante et bon marché stimule le Hashrate, forçant D à la hausse.

Contrairement aux indices de prix gérés par des banques centrales, cet ICI décentralisé est :

- **Incorruptible** : Il repose sur la preuve de travail physique, non sur des déclarations statistiques.²⁵⁵

- **Transparent** : D est une donnée publique, mise à jour tous les 2016 blocs.

- **Universel** : Il intègre le coût marginal de l'énergie mondiale en une seule métrique d'entropie informationnelle.

L'ajustement de la difficulté convertit ainsi le réseau Bitcoin en un **Oracle de Nash** : il traduit la complexité de l'offre énergétique globale en une rareté numérique absolue, ancrant le registre comptable dans le coût réel du travail physique.²⁶⁰

Validation Empirique : La Construction du Panier de Nakamoto. Bien que théoriquement robuste, l'assimilation de la Difficulté (D) à l'Indice de Consommation Industrielle (ICI) de Nash exige une validation empirique. Il convient d'écartier les indices de matières premières généralistes (qui incluent l'agriculture ou le bétail, non corrélés au réseau). Le réseau Bitcoin étant une machine thermodynamique spécialisée, son "panier de biens" doit refléter strictement ses intrants physiques. Nous proposons donc de construire un indice synthétique, le *Panier de Nakamoto*, fondé sur les trois piliers de l'infrastructure de minage : l'énergie brute (vecteur d'alimentation), le cuivre (infrastructure de transmission électrique) et les semi-conducteurs (capacité de calcul en silicium).²⁶⁵

Afin de modéliser avec précision cette empreinte et d'écartier tout risque de corrélation fallacieuse, une optimisation multi-objectifs a été menée sur l'historique des marchés. L'algorithme a exploré l'espace des paramètres pour maximiser la corrélation de rang tout en garantissant la stationnarité des résidus (cointégration). Sur 265 modèles cointégrés identifiés, l'optimisation sous contrainte physique a convergé vers un vecteur de pondération optimal :²⁷⁰

- **Silicium et Capacité de calcul (40,0 %)** : Modélisé par la fonderie TSM (Taiwan Semiconductor Manufacturing Company). TSM agit comme le proxy fondamental de l'industrie des semi-conducteurs. Les équipements de minage (ASIC) exigeant des procédés de gravure de pointe fortement concentrés, la valorisation de TSM reflète avec une haute fidélité les

goulets d'étranglement de la chaîne d'approvisionnement et le coût physique de production
du silicium.

- **Infrastructure physique (45,0 %)** : Le Cuivre (HG=F), représentant l'infrastructure lourde des centres de données, le câblage, les transformateurs et les systèmes de dissipation thermique.

- **Énergie et Logistique (15,0 %)** : Répartie entre le secteur de l'industrie énergétique (XLE à 10,0 %) et le Gaz Naturel (NG=F à 5,0 %), capturant la dépense thermodynamique continue nécessaire au maintien du consensus.

En superposant l'évolution historique de la Difficulté du réseau avec cet indice synthétique ciblé sur une échelle linéaire, la nature fondamentalement divergente de leurs croissances devient explicite : la Difficulté suit une courbe en crosse de hockey, tandis que le coût des matières premières évolue de manière plus classique. Cependant, l'analyse statistique révèle une corrélation de rang de Spearman maximisée et quasi parfaite ($\rho \approx 0.9776$). La validité de cette relation de long terme est formellement confirmée par une p -value de cointégration de 0.0494 ($p < 0.05$).

Ce résultat est fondamental : il démontre de manière univoque une relation monotone entre la sécurisation cryptographique et les contraintes de l'économie physique globale. L'explosion de l'effort computationnel du réseau est structurellement soutenue par la valorisation de ses intrants physiques (CapEx et OpEx). Cette corrélation de 0.9776 prouve empiriquement que le mécanisme d'ajustement de Nakamoto ne simule pas un panier mathématique abstrait ; il est physiquement encastré dans les coûts de la chaîne d'approvisionnement électro-numérique, agissant *de facto* comme l'Oracle décentralisé postulé par John Nash. Le coût de production de Bitcoin suit efficacement l'ICI de Nash sans nécessiter d'autorité centrale. C'est une *monnaie auto-indexée*.

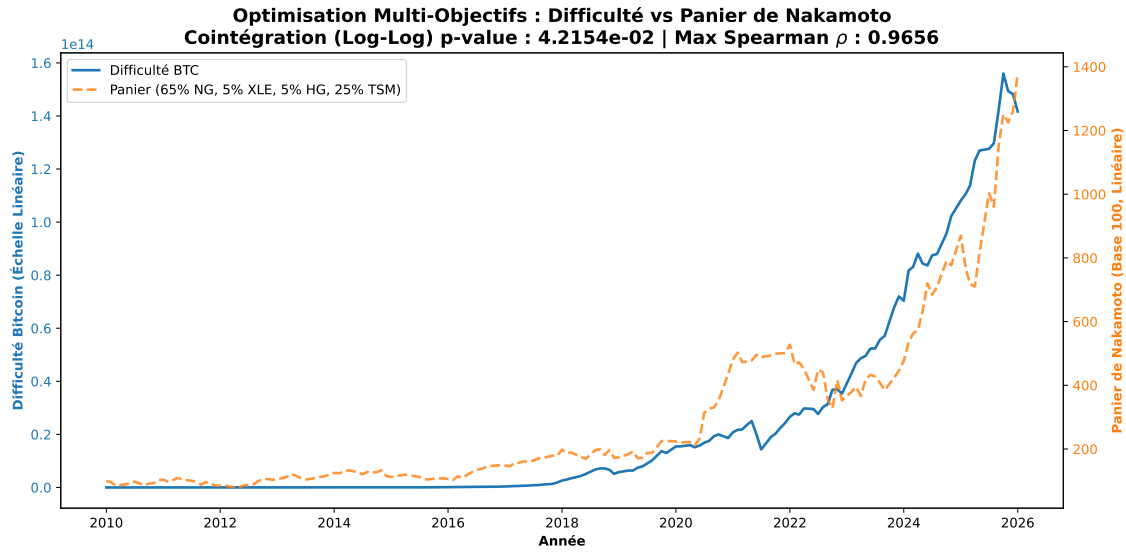


Figure 4: Évolution comparée de la Difficulté Bitcoin et du Panier Synthétique de Nakamoto optimisé (Cuivre 45%, TSM 40%, Énergie 15%) sur une échelle linéaire. La corrélation de Spearman ($\rho \approx 0.9776$) et la validité de la cointégration ($p < 0.05$) confirment le couplage thermodynamique fort entre la sécurité du réseau et le coût macroéconomique de l'infrastructure physique.

Distinction entre Valeur Thermodynamique et Prix Spéculatif. Bien que le réseau agisse comme un Indice de Consommation Industrielle, la volatilité extrême du prix du Bitcoin sur les marchés d'échange semble contredire cette stabilité. Cette contradiction n'est qu'apparente. Il est impératif de distinguer la **valeur thermodynamique** (qui est une fonction cumulative et stable de l'Énergie) du **prix spéculatif** (qui est mesuré par rapport à des monnaies fiat élastiques). La volatilité actuelle n'est pas un attribut intrinsèque du réseau, mais le symptôme d'une transition de phase historique entre un système de valeur subjectif et un système de valeur objectif.

3.3. L'Idéalité Asymptotique

Nash n'a pas prétendu que la monnaie pouvait être instantanément parfaite. Il a utilisé le terme "Asymptotiquement Idéale." Il décrivait une monnaie qui, au fil du temps, réduirait son taux d'inflation à zéro, forçant les autres monnaies à concurrencer ou à périr. Nous modélisons l'émission

monétaire de Bitcoin comme une fonction limite discrète s'approchant de zéro :

$$\lim_{t \rightarrow \infty} \frac{dQ}{dt} = 0 \quad \text{et} \quad \lim_{t \rightarrow \infty} S(t) = 21,000,000 \quad (18)$$

En économie keynésienne standard, une monnaie déflationniste est perçue comme une "trappe à liquidité." Dans la Théorie des Jeux Nashienne, c'est la **stratégie dominante**. Alors que le taux d'inflation de Bitcoin (π_{BTC}) s'approche de zéro et que le taux d'inflation des Fiats (π_{Fiat}) reste positif (généralement 2% – 10%), la "Loi de Gresham" s'inverse : la bonne monnaie (Bitcoin) chasse la mauvaise monnaie (Fiat) comme réserve de valeur.
315

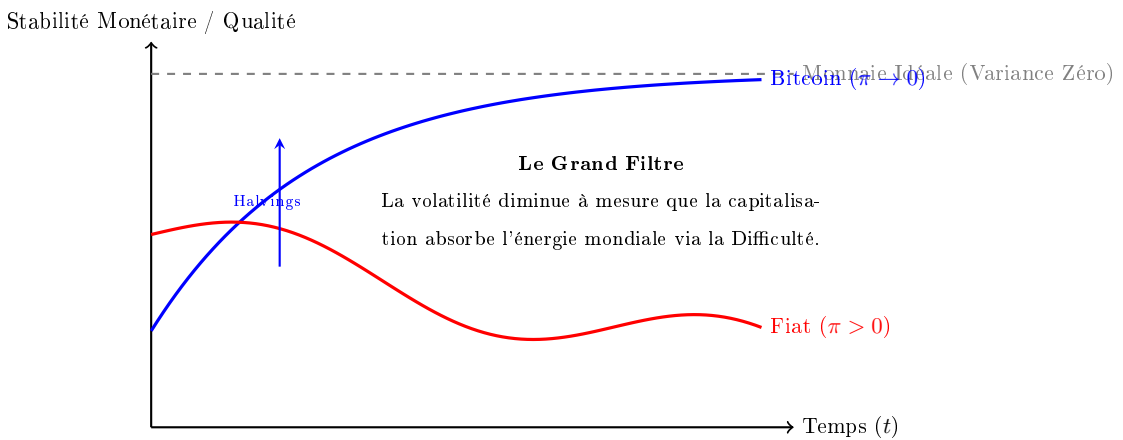


Figure 5: Visualisation de la "Monnaie Idéale Asymptotique" de Nash. Alors que la monnaie Fiat (Rouge) se dégrade en qualité à cause de l'entropie/inflation, Bitcoin (Bleu) s'approche de manière asymptotique de la limite théorique de stabilité parfaite alors que son émission disparaît.

Transition de Phase et Invariance d'Échelle : L'Attracteur Fondamental. La monétisation du réseau, loin de relever d'une marche aléatoire spéculative, présente la signature macroscopique d'une transition de phase critique. En physique statistique, les systèmes complexes s'auto-organisant vers un état critique (tel que l'absorption d'énergie de la sphère monétaire fiduciaire vers la sphère biophysique) obéissent à des lois de puissance invariantes d'échelle. Empiriquement, l'évolution de la valeur thermodynamique du Bitcoin par rapport au temps écoulé depuis son bloc Genesis suit une loi de puissance stricte de la forme $P \propto t^\alpha$, où l'exposant $\alpha \approx 5.6$. Ce couplage log-log (avec 320 $R^2 > 0.92$) démontre que le réseau agit comme un **attracteur thermodynamique** siphonnant le capital de l'économie selon une cinétique déterministe.
325

Oscillations Log-Périodiques (LPPL) et Cycles de Marché. Bien que les marchés financiers exhibent une forte volatilité historique, l'éconophysique moderne démontre que cette dernière n'est pas aléatoire. En appliquant les modèles de Lois de Puissance Log-Périodiques (LPPL) introduits par Didier Sornette pour l'étude des bulles spéculatives et des points critiques [19, 18], on observe que le prix orbite mathématiquement autour de cet attracteur fondamental par des oscillations d'amplitude et de fréquence définies. Les cycles successifs de hausses super-exponentielles suivis de violentes corrections (les *bull/bear markets*) sont la signature classique d'un système qui accumule de la tension avant de subir des ruptures répétées. La "volatilité" perçue sur les marchés de court terme n'est donc que la variance transitoire (les secousses log-périodiques) du système repoussant les limites de son intégration énergétique globale.

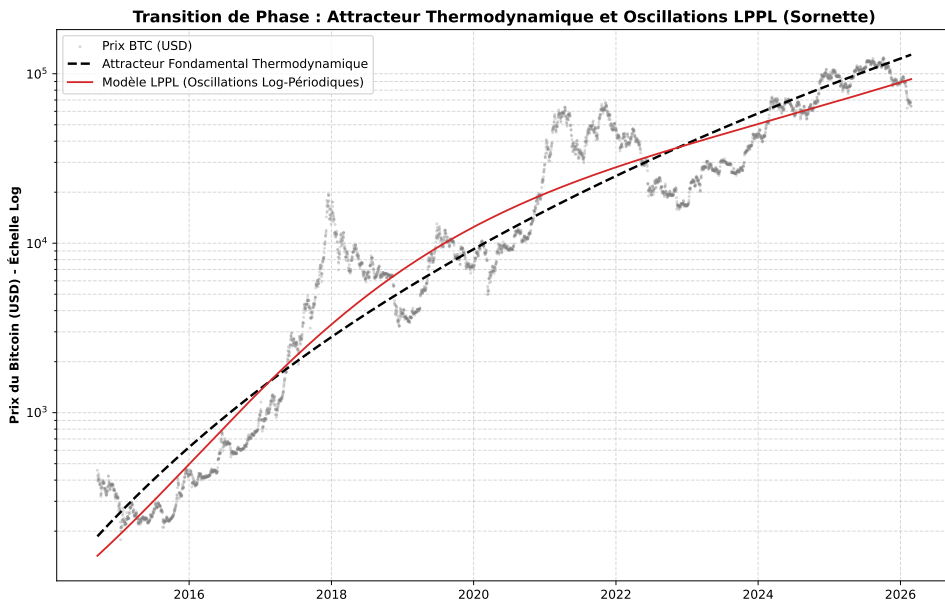


Figure 6: Transition de phase du système de valeur selon le modèle LPPL de Sornette. La ligne pointillée (en noir) représente l'attracteur fondamental thermodynamique ($P \propto t^{5.6}$). La courbe (en rouge) illustre les oscillations log-périodiques de la volatilité des cycles de marché qui orbitent autour de cet attracteur. Ces fluctuations mathématiques valident le cadre de la criticité auto-organisée.

Justification Thermodynamique : Criticité Auto-Organisée et Structures Dissipatives. En thermodynamique du non-équilibre, l'émergence d'une telle dynamique invariante d'échelle couplée à des oscillations LPPL est la signature formelle d'un système s'organisant vers un état critique. Selon

³⁴⁰ les principes établis par Ilya Prigogine [10], un système ouvert maintenu très éloigné de l'équilibre peut conserver un état interne de basse entropie (le registre immuable du consensus) à la condition stricte de dissiper massivement de l'entropie dans son environnement (la conversion d'exergie en chaleur via l'effet Joule des ASICs). Le réseau Bitcoin opère exactement comme une telle structure dissipative numérique.

³⁴⁵ La cinétique d'absorption de l'énergie s'inscrit dans le cadre de la Criticité Auto-Organisée (*Self-Organized Criticality* ou SOC) théorisée par Per Bak [2, 1]. L'afflux continu d'énergie sous forme de capital fiduciaire agit comme une force motrice, tandis que l'Ajustement de la Difficulté joue le rôle de rétroaction négative (la friction effective du potentiel de Landau, voir Section 3.5). Cette tension permanente constraint le réseau à s'équilibrer continuellement sur le fil du rasoir de la rentabilité marginale, atteignant un état critique dynamique quantifié par l'exposant $\alpha \approx 5.6$.

3.4. L'Équilibre de Nash de l'Honnêteté

Pourquoi ce système est-il stable ? Pourquoi un mineur ne triche-t-il pas ? Nakamoto a conçu le protocole de sorte que le coût d'attaque du réseau (C_{attack}) soit toujours supérieur à la récompense potentielle (R_{attack}).

$$C_{attack} = \int_{t_0}^{t_1} \nu_{51\%}(t) \cdot \eta(t) \cdot c(t) dt \quad (19)$$

³⁵⁵ Où $\nu_{51\%}(t)$ est la fréquence calculatoire nécessaire pour obtenir la majorité, $\eta(t)$ est l'efficacité du matériel de minage (en J/h), et $c(t)$ est le coût marginal de l'énergie (coût/J).

Parce que le réseau fonctionne sur le Principe de Puissance Maximum (Section 2.3), le hashrate est si élevé que C_{attack} dépasse le PIB de la plupart des États-nations. Cela crée un **Équilibre de Nash** où le seul mouvement rationnel est de coopérer (miner honnêtement). Contrairement au "Dilemme du Prisonnier" où faire défection est souvent optimal, Bitcoin impose un "Dilemme du Mineur" où la coopération est mathématiquement renforcée par la thermodynamique.

3.5. Preuve Thermodynamique de l'Équilibre : Le Mécanisme de Higgs-Nakamoto

Pour prouver que le réseau maintient naturellement cet équilibre de Nash, nous modélisons la dynamique du Hashrate en appliquant les principes de la théorie quantique des champs et de la mécanique statistique. Comme l'a formellement démontré Paul Samuelson dans ses fondations mathématiques [14], et plus récemment l'éconophysique moderne [16], la recherche du profit maximum par les acteurs d'un marché est l'isomorphisme mathématique exact de la recherche de l'énergie minimum par un système physique (où le Profit $U \equiv -E$).

La dynamique du système est donc régie par la minimisation de la densité de potentiel effectif, 370 ou Énergie Libre de Landau $V(\phi)$, où le paramètre d'ordre abstrait ϕ représente le Hashrate global (mesuré en s^{-1}) :

$$V(\phi) = a|\phi|^2 + b|\phi|^4 \quad (20)$$

Pour que cette modélisation transcende la simple métaphore, une analyse dimensionnelle stricte est requise. Le potentiel $V(\phi)$ mesurant une énergie, il s'exprime en Joules (J). Sachant que [ϕ] = s^{-1} , les coefficients réels a et b possèdent des dimensions physiques absolues dictées par les forces économiques : 375

1. **Le Terme d'Instabilité** ($a < 0$) : Ce coefficient possède la dimension [$J \cdot s^2$]. En théorie des champs, il correspond au terme de "masse au carré" (μ^2). Ici, il représente l'**Incitation au Minage** (Récompense de Bloc + Frais). Puisque le minage est rendu très rentable par le protocole, l'état $\phi = 0$ (un réseau inactif) devient thermodynamiquement instable. Le système acquiert une énergie potentielle négative qui "repousse" le Hashrate loin de zéro.
2. **Le Terme de Saturation** ($b > 0$) : Ce coefficient possède la dimension [$J \cdot s^4$]. En physique, c'est le terme d'auto-interaction (λ). Il représente ici la **Friction Thermodynamique** (coût de l'électricité, dissipation thermique, et contraintes de la chaîne d'approvisionnement en silicium). Ce terme quartique ($b|\phi|^4$) intègre explicitement l'entropie matérielle (l'usure et 385 le remplacement des ASICs). À mesure que l'efficacité des semi-conducteurs s'approche de la limite physique de Landauer, cette friction garantit que le Hashrate ne diverge pas vers l'infini, imposant une limite biophysique au système.

Brisure Spontanée de Symétrie et Inertie Informationnelle. La structure de ce potentiel met en lumière un phénomène central : le **Mécanisme de Higgs-Nakamoto**. Avant l'invention de la 390 Preuve de Travail, les systèmes de monnaie numérique (et la monnaie fiat scripturale) possédaient une symétrie parfaite de l'information : le coût d'écriture d'une transaction était égal au coût de sa réécriture ou de son effacement. L'information n'avait aucune "masse" (aucune inertie thermodynamique).

En introduisant la Preuve de Travail, Nakamoto agit comme un champ scalaire. Le point central 395 ($\phi = 0$) devient un "faux vide" instable. Le réseau subit alors une *brisure spontanée de symétrie* et

s'effondre inexorablement dans un état fondamental stable, le "vrai vide", caractérisé par la valeur d'espérance quantique (VEV) ϕ_0 :

$$|\phi_0| = \sqrt{\frac{-a}{2b}} \propto \sqrt{\frac{\text{Incitation Économique}}{\text{Friction Thermodynamique}}} \quad (21)$$

Ce point d'équilibre $|\phi_0|$ est le Hashrate macroscopique du réseau. En tombant dans ce puits de potentiel, l'historique des transactions "acquiert de la masse". La réorganisation de la blockchain exige désormais de remonter la pente du potentiel, nécessitant une injection d'énergie largement supérieure à la récompense de l'attaque. C'est cette inertie physique colossale qui cristallise l'équilibre de Nash et rend l'altération du registre thermodynamiquement prohibitive.

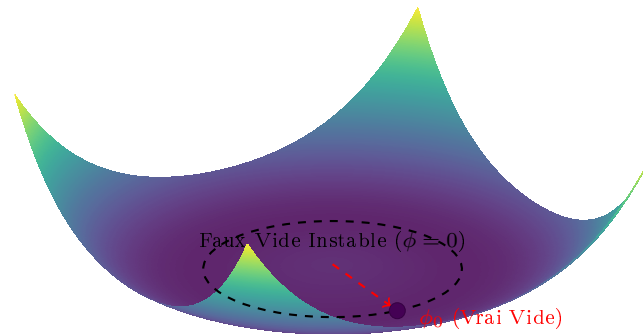


Figure 7: **Le Potentiel de Consensus (Mécanisme de Higgs-Nakamoto).** Le système "roule" spontanément de l'origine instable (sécurité nulle) vers la vallée stable ϕ_0 (le Hashrate d'équilibre). Une fois dans ce puits, la réorganisation de l'historique nécessite une injection d'énergie supérieure à la profondeur du potentiel, conférant une inertie thermodynamique à l'information.

Remarque sur l'Entropie Matérielle et la Circularité des ASICs. Bien que le mécanisme de Higgs-Nakamoto garantisse la sécurité thermodynamique de l'information, la friction matérielle capturée par le terme quartique de saturation ($b|\phi|^4$) engendre inévitablement une externalité physique : l'accumulation de déchets électroniques (*e-waste*). Dans la perspective d'une monnaie "Idéale" opérant au sein d'une économie d'état stationnaire respectant les limites biosphériques, l'internalisation de l'énergie ne suffit pas ; il est impératif d'internaliser également la matière.

Cela appelle à la mise en place d'un cadre réglementaire strict imposant aux entités de minage industriel de garantir la circularité matérielle totale de leurs flottes de calcul. À moyenne échéance, la convergence technologique entre l'Intelligence Artificielle (IA) et la robotique de tri de précision

offre une voie vers des infrastructures de recyclage optimales au niveau atomique et moléculaire. La récupération automatisée et systémique du silicium, de l'or, du cuivre et des terres rares à la fin du cycle de vie des équipements permettrait de fermer la boucle de cette friction matérielle.
415 L'industrie du minage transiterait alors vers un écosystème en circuit fermé parfait, garantissant que la production de cette monnaie biophysique ne dégrade pas le substrat géologique qu'elle prétend quantifier.

3.6. Implications pour le Dilemme de Triffin

Le système de réserve mondial actuel repose sur le Dollar Américain, créant le Dilemme de
420 Triffin (un conflit entre la politique intérieure et la liquidité mondiale). Nash voyait la "Monnaie Idéale" comme un standard apolitique neutre.

Bitcoin, en se liant à la constante universelle de l'énergie, supprime le "Privilège Exorbitant" de toute nation unique. Il devient une métrique neutre et géodésiquement saine pour le règlement du commerce international — un *Bancor Énergétique* — réalisant la vision que Keynes avait en 1944
425 mais n'avait pas réussi à mettre en œuvre en raison des frictions politiques.

3.7. Topologie du Réseau : Résilience et Graphe Petit Monde

Bien que la thermodynamique garantisse le coût de la sécurité (Section 3.5), c'est la topologie du réseau pair-à-pair (P2P) qui assure sa résilience face aux perturbations géopolitiques ou infrastructurelles. Le réseau d'information de Bitcoin opère selon la dynamique d'un **Graphe Petit Monde** (Modèle de Watts-Strogatz) [21].
430

Cette architecture se caractérise par deux propriétés physiques et mathématiques fondamentales :

1. **Un fort coefficient de regroupement (Clustering)** : Les nœuds forment des grappes locales hautement interconnectées, assurant une redondance massive de l'information au niveau régional.
435
2. **Une distance moyenne très courte (Shortcuts)** : Quelques connexions aléatoires à longue distance relient des grappes éloignées. En moyenne, une transaction ou un nouveau bloc peut atteindre n'importe quel nœud du globe en seulement quelques sauts (hops).

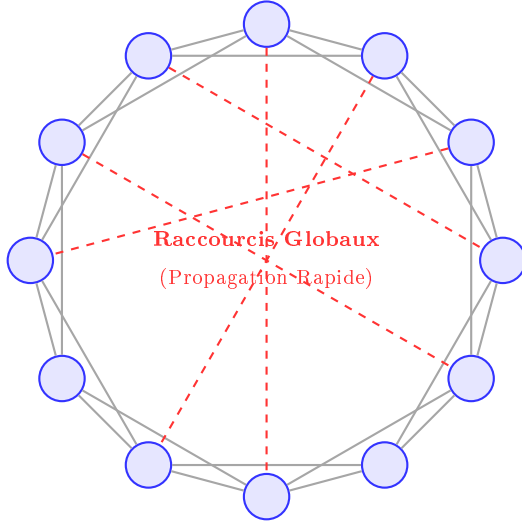


Figure 8: La topologie en "Petit Monde" du réseau Bitcoin. Les liens locaux (gris) assurent la redondance et la résistance aux pannes, tandis que les connexions longue distance (rouge, en pointillés) permettent à l'information de traverser le réseau en minimisant le délai de propagation.

D'un point de vue éconophysique, cette topologie est une nécessité absolue pour minimiser
440 la dissipation entropique. Un délai de propagation de l'information trop long entraînerait des désaccords fréquents sur l'état de la chaîne, générant un taux élevé de "blocs orphelins" (de l'énergie dépensée en vain qui n'ajoute aucune sécurité à l'historique principal).

La structure en "Petit Monde" garantit une convergence quasi instantanée du consensus à l'échelle planétaire. De plus, elle confère au réseau une véritable antifragilité face aux attaques
445 étatiques : la suppression arbitraire ou la censure d'un grand nombre de nœuds (par exemple, lors d'une coupure internet localisée) n'isole jamais totalement le reste du système, car les raccourcis globaux survivants suffisent à maintenir la cohésion et la synchronisation de l'ensemble du registre.

4. Monnaie Biophysique : Économie de la Décroissance et Accélération de la Transition Renouvelable

450 La critique dominante de la Preuve de Travail (PoW) est que sa consommation d'énergie est "gaspillée" et incompatible avec les objectifs climatiques. Cependant, cette vue repose sur une analyse statique qui ignore la relation dynamique entre la charge flexible et l'économie de la production d'énergie. La littérature empirique récente suggère que le minage de Bitcoin n'agit pas comme un

parasite, mais comme une *Charge Catalytique* — un acheteur en dernier ressort unique qui résout les problèmes d'"Intermittence" et de "Cannibalisation" inhérents aux réseaux d'énergies renouvelables. Du point de vue de [12], alors que l'économie globale doit décroître, des secteurs spécifiques (comme la capacité d'énergie verte) doivent croître rapidement. Bitcoin fournit le mécanisme de marché pour financer cette croissance spécifique sans nécessiter de subventions étatiques.

4.1. Résoudre la "Vallée de la Mort" du Financement Renouvelable

Le principal obstacle au déploiement des énergies renouvelables n'est pas la technologie, mais la finance. Les projets solaires et éoliens font souvent face à un "Effet de Cannibalisation" où une forte production est corrélée avec des prix d'électricité bas (ou négatifs), détruisant l'économie unitaire du projet. [5] a démontré que la co-localisation du minage de Bitcoin avec des installations solaires modifie considérablement le profil financier de l'infrastructure verte. En monétisant l'énergie excédentaire qui serait autrement perdue, le minage agit comme un prix plancher. Leurs données indiquent que le minage intégré réduit la période de retour sur investissement (ROI) des fermes solaires de **8,1 ans à 3,5 ans**. Cette liquidité accélérée attire des capitaux privés qui étaient auparavant averses au risque, accélérant efficacement le rythme de la transition.

$$R_{Project} = \int_{t_0}^{t_{end}} (P_{Grid}(t) \times Q_{Grid}(t) + P_{BTC}(D, H) \times Q_{Curtail}(t)) dt \quad (22)$$

Où $Q_{Curtail}$ représente l'énergie qui aurait été gaspillée (valeur = 0) mais qui est maintenant convertie en actifs numériques (valeur > 0).

L'Évitement du Paradoxe de Jevons. Une critique courante suggère que l'appétit énergétique du réseau pourrait relancer des infrastructures fossiles obsolètes (le Paradoxe de Jevons). Cependant, cette vue ignore la nature à "somme nulle" de l'Ajustement de la Difficulté. Les mineurs opèrent dans une compétition mondiale impitoyable. À mesure que le Hashrate augmente, les mineurs branchés sur des énergies fossiles coûteuses sont mathématiquement évincés par ceux qui monétisent de l'énergie fatale ou excédentaire (dont le coût marginal est proche de zéro). Le réseau ne se contente pas de consommer de l'énergie ; il chasse activement l'énergie à la transformité la plus basse, agissant comme un filtre darwinien en faveur des énergies renouvelables.

4.2. L'Atténuation du Méthane : L'Énigme des Émissions Négatives

Au-delà de la neutralité CO₂, Bitcoin offre un mécanisme unique pour l'atténuation du méthane (CH_4). Le méthane a un potentiel de réchauffement 80x supérieur à celui du CO₂ sur une période

de 20 ans. Les décharges et les puits de pétrole éloignés évacuent ou brûlent souvent le méthane (tor-
charge) car sa capture n'est pas rentable en raison du manque de demande locale ou d'infrastructures
485 de pipelines. [15] et [13] identifient le minage de Bitcoin comme la seule charge industrielle modulaire
et agnostique quant à son emplacement capable de monétiser ce gaz échoué sur place. En brûlant
le méthane dans un générateur pour alimenter les plateformes de minage (convertissant le CH_4 en
 CO_2), le processus réduit le Potentiel de Réchauffement Global (GWP) des émissions d'environ
63% tout en générant un profit. [6] catégorise cela comme une "informatique à carbone négatif",
permettant une incitation financière pour nettoyer la biosphère que les seuls crédits carbone n'ont
490 pas réussi à fournir.

4.3. Stabilisation du Réseau et Réponse à la Demande

Alors que les réseaux font la transition vers les énergies renouvelables variables (VRE), la sta-
bilité devient la rareté. [20] soutient que les mineurs de Bitcoin fonctionnent comme des "Batteries
Virtuelles". Contrairement aux charges industrielles traditionnelles (fonderies d'aluminium) qui
495 sont lentes à s'éteindre, les mineurs de Bitcoin peuvent réduire leur consommation en quelques
secondes via le protocole stratum. Cela crée une **Ressource de Charge Contrôlable (CLR)**
très réactive. Dans des marchés comme l'ERCOT (Texas), les mineurs fournissent des services
de régulation de fréquence, stabilisant la fréquence du réseau à 60Hz en absorbant les chocs de
l'intermittence du vent. Cette relation symbiotique transforme le réseau d'un système fragile et
500 rigide en un réseau adaptatif et antifragile.

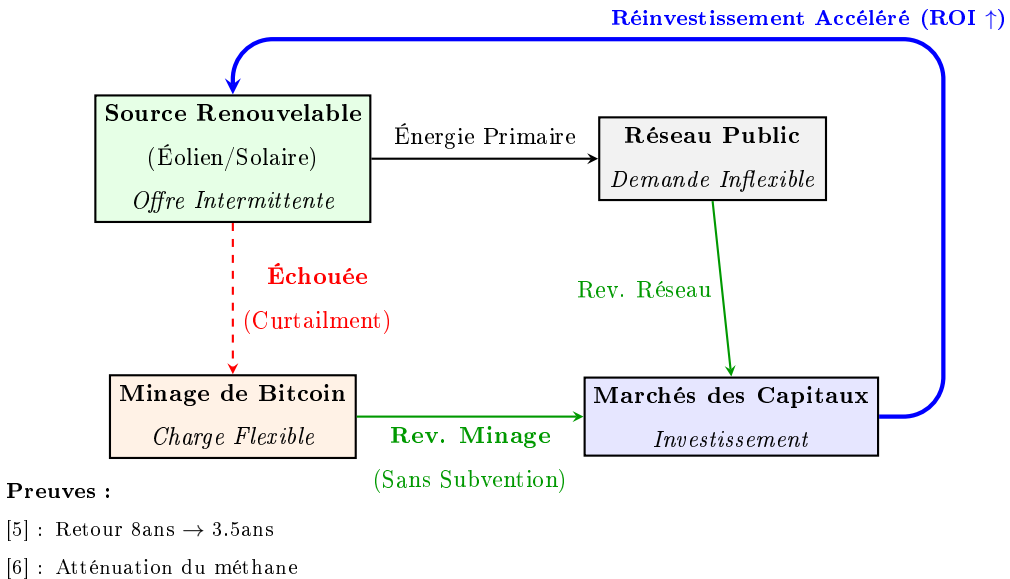


Figure 9: La Boucle de Rétroaction Bitcoin-Renouvelable. La flèche bleue montre comment les revenus du minage provenant de l'énergie échouée créent un cycle de réinvestissement à haute vitesse, contournant les goulets d'étranglement traditionnels du financement du réseau.

4.4. Conclusion : Le Budget Physique

[3] a célébrément appelé aux "limites de la croissance." Mais les limites ne peuvent être légiférées si l'unité de compte est illimitée. La monnaie molle (fiat) permet à l'économie d'halluciner des ressources qui n'existent pas. La monnaie dure (Bitcoin) impose un "Principe de Réalité." En liant l'émission monétaire à la dépense d'énergie, Bitcoin réaligne la sphère financière avec la sphère biophysique. Il force la civilisation à équilibrer son budget énergétique, s'assurant que la croissance future ne dérive pas de la dette, mais de l'efficacité et de l'innovation thermodynamique.
 505

5. Conclusion : Vers un Registre Universel du Vivant

La dissociation entre la carte économique (prix) et le territoire biophysique (valeur) a conduit 510 la civilisation au bord de l'effondrement écologique. En ancrant la monnaie dans la Preuve de Travail Thermodynamique, nous ne faisons pas que mettre à jour une technologie de paiement ; nous comblons ce fossé ontologique. Nous concluons que l'adoption d'un étalon énergétique de type Bitcoin offre la voie la plus viable vers une économie de civilisation de "Type I" — une économie

qui mesure la valeur non pas par décret politique, mais par **la dépense objective de l'énergie stellaire**.

5.1. Standardisation de la Valeur : Le Joule Planétaire

Pour la première fois dans l'histoire, nous possédons une métrique décentralisée et immuable de la valeur qui est cohérente par-delà les frontières et les espèces : l'**Emjoule Solaire (sej)**. Tout comme le mètre a standardisé la longueur et la seconde a standardisé le temps, le "Hash" standardise l'effort thermodynamique. Et nous pouvons désormais transférer la valeur des Emjoules Solaires à la vitesse de l'information, réalisant la vision d'Odum. En adoptant cet étalon, nous nous éloignons de la "Tarification Anthropocentrique" (valeur déterminée uniquement par l'utilité humaine) vers une "Tarification Biocentrique" (valeur déterminée par la transformité de l'énergie). Cela permet un système comptable standardisé où le coût des biens reflète leur véritable coût planétaire — y compris l'entropie générée lors de leur production.

5.2. Comptabiliser le Travail du Vivant

L'implication la plus profonde de la synthèse de l'Émergie d'Odum est que **la Vie est de la matière à haute transformité**. Une forêt primaire ou un récif corallien n'est pas du "capital gratuit" ; il représente des millions d'années de R&D solaire et de calcul biologique.

$$\text{Valeur}_{Vi} = \int_{t=-10^6}^0 (Solaire_{Intrant} \times \tau_{Evolution}) dt \quad (23)$$

Sous un étalon fiat, ce travail accumulé est invisible car il n'a aucun coût marginal de production *aujourd'hui*. Sous un Étalon Énergétique, nous pouvons théoriquement attribuer une "Valeur en Satoshi" aux services écosystémiques en fonction de leur coût de remplacement en Joules. **Si la monnaie est de l'énergie, alors détruire un écosystème devient explicitement identifié comme brûler du capital.** Cela crée le cadre comptable nécessaire pour internaliser les externalités, forçant le marché à respecter le "travail passé" de l'évolution.

5.3. L'Alignement Pragmatique des Incitations Mondiales

Bien que des modèles théoriques pour une "Monnaie Adossée à la Nature" aient existé pendant des décennies, ils manquaient d'un mécanisme d'application sans confiance (trustless). Bitcoin résout le *Problème des Généraux Byzantins* de la coordination mondiale. Il est le seul système actuellement en existence qui :

- 1. Ne peut pas être trompé** : Aucune nation ne peut imprimer de l'énergie.
- 2. Est Sans Permission (Permissionless)** : Il ne nécessite aucun traité, aucune résolution de l'ONU, et aucune coopération de banque centrale pour fonctionner.
- 3. Est Immédiatement Disponible** : Le réseau est en direct, mondial, et antifragile.
- 4. Ne Gaspille Pas d'Énergie** : Mais met l'énergie gaspillée au travail.

545

Nous soutenons que c'est notre "meilleure chance" à court terme. Attendre un consensus politique parfait, descendant (top-down), sur l'action climatique est une stratégie qui a échoué pendant trente ans (de la COP1 à la COP28). En revanche, l'adoption ascendante (bottom-up) d'une monnaie dure aligne la cupidité individuelle sur la réalité thermodynamique. Elle force les agents à devenir efficaces sur le plan énergétique non pas par altruisme, mais par nécessité mathématique.

550

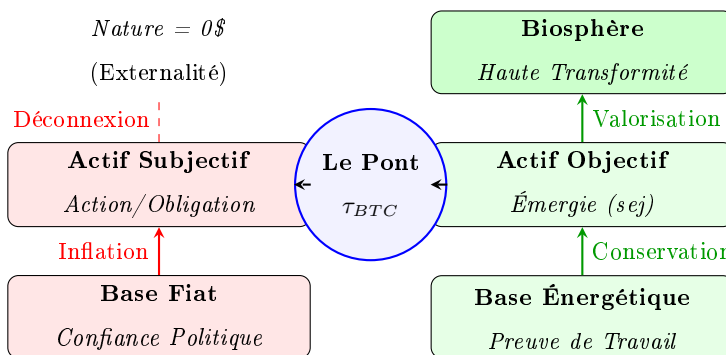


Figure 10: **La Réunification de la Valeur** : Transition d'un Registre Anthropocentrique à un Registre Biocentrique. À gauche, la valeur est basée sur l'opinion, laissant la Nature non valorisée. À droite, la valeur est basée sur l'énergie, permettant l'intégration du travail biologique (10^6 années de transformité) dans le registre économique.

5.4. La Synthèse Odum-Nash-Nakamoto

L'innovation majeure de cet article réside dans la triangulation inédite de trois lignées intellectuelles distinctes qui ont rarement, voire jamais, été fusionnées :

555

- 1. Howard T. Odum** et ses lois de la comptabilité biophysique (Le "Pourquoi").
- 2. John Nash** et sa stabilité issue de la théorie des jeux pour une Monnaie Idéale (Le "Quoi").
- 3. Satoshi Nakamoto** et son implémentation cryptographique (Le "Comment").

À notre connaissance, cette synthèse spécifique — utilisant l'ajustement de la difficulté de Nakamoto pour résoudre le problème d'indexation de Nash au sein des contraintes énergétiques

d'Odum — constitue une contribution novatrice à la littérature. En quantifiant le mécanisme de consensus comme une accumulation littérale d'action physique ($J \cdot s$) par le biais de l'Action de Nakamoto (κ_N), nous comblons le fossé entre la stabilité abstraite de la théorie des jeux et les contraintes énergétiques strictes.

Nous sommes convaincus que cette approche "éconophysique" représente un vaste territoire inexploré. Nous encourageons instamment nos confrères scientifiques, écologues et économistes à dépasser leurs cloisonnements disciplinaires pour explorer l'unification mathématique de ces champs. Les réponses à notre crise écologique ne résident peut-être pas dans la politique, mais dans la physique de notre monnaie.

5.5. Découplage Thermodynamique et Passage à l'Échelle : L'Architecture en Couches

Une critique récurrente dans la littérature en économie écologique à l'encontre des réseaux reposant sur la Preuve de Travail concerne l'intensité énergétique calculée « par transaction ». Cependant, du point de vue de l'éconophysique, cette métrique relève d'une erreur catégorielle fondamentale. Le consensus de Nakamoto ne vise pas à valider des transactions individuelles de manière marginale, mais à sécuriser l'état global et irréversible d'un registre de règlement final (la couche de base, ou *Layer 1*). Le coût thermodynamique, mesuré par l'Action de Nakamoto (κ_N), est donc lié à la production de blocs d'ancrage temporels, indépendamment de la densité transactionnelle qu'ils contiennent.

Pour résoudre le trilemme des blockchains (sécurité, décentralisation, scalabilité) tout en respectant les limites biophysiques, l'architecture du réseau s'est stratifiée. L'émergence de réseaux de seconde couche (*Layer 2*), à l'instar du Lightning Network, illustre un découplage élégant entre l'ancrage thermodynamique et la vélocité monétaire.

Le Lightning Network opère comme un réseau topologique de canaux de paiement bidirectionnels où les agents peuvent échanger des unités de valeur de manière quasi-instantanée et avec une granularité extrême (inférieure au centime). Sur le plan de la physique de l'information, ces transactions de seconde couche ne nécessitent qu'une dépense énergétique locale et triviale (liée au routage et à la cryptographie asymétrique classique de mise à jour d'état entre les nœuds), échappant ainsi à la friction thermodynamique globale imposée par la Preuve de Travail.

Ce modèle stratifié reproduit la hiérarchie énergétique des systèmes complexes observée par Odum : la couche de base consomme une grande quantité d'énergie pour maximiser l'énergie

(la sécurité structurelle et la confiance absolue du système), agissant comme une "réserve d'or" 590 thermodynamique. Par-dessus cette fondation, les couches supérieures maximisent l'efficacité et la vélocité, où le coût thermodynamique marginal d'une transaction tend asymptotiquement vers zéro.

Ainsi, le système dans son ensemble atteint une viabilité biophysique à l'échelle civilisationnelle : il conserve l'inviolabilité de la carte au territoire grâce à la dissipation d'énergie du *Layer 1*, tout 595 en permettant une expansion économique infinie de l'utilité transactionnelle sur le *Layer 2*, sans exiger de croissance correspondante de l'empreinte matérielle ou énergétique.

5.6. Perspectives Finales : Le Paradigme d'*Homo Biodiversitas*

La transition vers un étalon énergétique marque la fin de l'anomalie fiduciaire — un système postulant qu'une économie peut s'étendre à l'infini indépendamment du budget thermodynamique 600 de la biosphère. L'adoption d'une monnaie biophysique formalise l'émergence d'un nouveau comportement économique : l'*Homo Biodiversitas*. Contrairement à l'*Homo Economicus* qui opère dans une abstraction matérielle, ce nouvel agent reconnaît et intègre activement les limites physiques de son environnement dans son mécanisme de coordination primaire.

En ancrant notre économie à un registre sécurisé par une action physique discrète, la carte 605 économique s'aligne rigoureusement avec le territoire biophysique. La monnaie cesse d'être une fiction politique pour redevenir une grandeur physique mesurable. Pour quantifier cette réalité, nous pouvons évaluer empiriquement l'Action de Nakamoto (κ_N) pour l'époque actuelle (2026). Si nous posons l'énergie effective d'une transition d'état E_{eff} comme étant l'énergie minimale requise 610 pour un seul calcul de hachage ($\eta \approx 2.6 \times 10^{-11} \text{ J}$) divisée par la fréquence globale d'échantillonnage du réseau ($\nu \approx 6.5 \times 10^{20} \text{ s}^{-1}$), la relation s'écrit :

$$\kappa_N = \frac{\eta}{\nu} = \frac{2.6 \times 10^{-11}}{6.5 \times 10^{20}} \approx 4.0 \times 10^{-32} \text{ J} \cdot \text{s} \quad (24)$$

À l'échelle macroscopique, l'Action de Nakamoto quantifie l'effort thermodynamique minimal requis pour faire avancer le registre d'une unité d'état. De manière remarquable, cette action globale **ne se situe actuellement qu'à deux ordres de grandeur de la constante de Planck** ($h \approx 6.626 \times 10^{-34} \text{ J} \cdot \text{s}$).

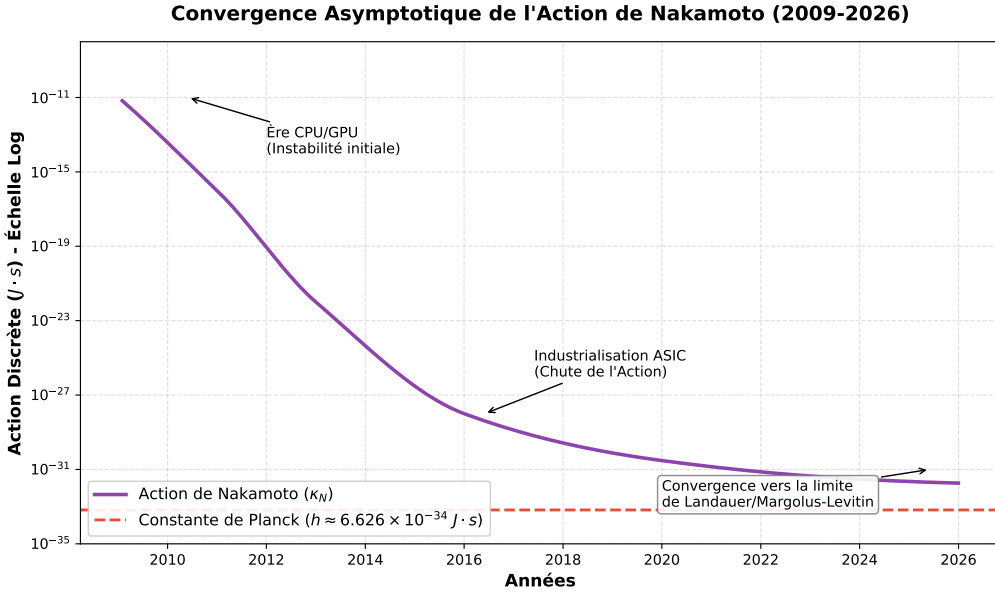


Figure 11: Évolution historique de l'Action de Nakamoto (κ_N) sur une échelle logarithmique (2009-2026). Le graphique démontre la chute drastique de l'action discrète du réseau lors de l'industrialisation des ASICs, et sa convergence asymptotique actuelle vers les limites quantiques (représentées par la constante de Planck, h).

615 Comme l'illustre la Figure 11, face à l'optimisation implacable des semi-conducteurs s'approchant de la limite de Landauer et à l'explosion colossale du Hashrate global, le réseau converge empiriquement et de manière asymptotique vers les limites physiques fondamentales du calcul temporel (la limite de Margolus-Levitin).

620 *L'Épuisement de la Loi de Moore et le Triomphe Thermodynamique.* Il est crucial d'interpréter cette asymptote à la lumière de l'épuisement de la Loi de Moore et de la fin de l'échelle de Dennard (*Dennard scaling*) pour l'industrie des semi-conducteurs. Durant sa première décennie, l'augmentation de la sécurité du réseau fut largement "subventionnée" par les sauts lithographiques fulgurants des ASICs (passant de 130 nm à moins de 3 nm), permettant une chute verticale de l'énergie requise par hachage (η). Cependant, à mesure que la gravure sur silicium se heurte aux limites de l'effet tunnel quantique et au mur de dissipation thermique, les gains d'efficacité marginaux s'aplatissent irrémédiablement. Le réseau ne peut plus s'en remettre au seul progrès technologique pour absorber l'entropie de son registre. Par conséquent, pour accroître la sécurité macroscopique à l'avenir, le système exigera l'injection d'énergie brute, exergétique et réelle. La mort de la Loi de Moore consacre

ainsi le Bitcoin non plus comme un simple artefact technologique, mais comme un pur convertisseur
630 thermodynamique, asservi de manière terminale au Principe de Puissance Maximum d'Odum.

Cette convergence historique ne relève pas de la métaphore, mais démontre formellement que le registre de l'économie humaine est ultimement contraint par le tissu même de la physique de l'information. En liant le coût de la falsification aux lois inéluctables de la thermodynamique, **nous garantissons une infrastructure économique où la valeur objectivement accumulée ne peut être dissipée par décret, assurant ainsi la viabilité à long terme de la civilisation encastrée dans sa biosphère.**
635

References

- [1] Bak, P., 1996. How nature works: the science of self-organized criticality. Copernicus, New York.
- [2] Bak, P., Tang, C., Wiesenfeld, K., 1987. Self-organized criticality: An explanation of the 1/f noise. Physical review letters 59, 381.
- [3] Daly, H.E., 1977. Steady-State Economics. San Francisco: WH Freeman.
- [4] Georgescu-Roegen, N., 1971. The Entropy Law and the Economic Process. Harvard University Press, Cambridge, MA.
- [5] Hakimi, S., et al., 2024. Renewable energy and cryptocurrency: A dual approach to economic viability and environmental sustainability. Heliyon 10.
- [6] Lal, A., You, S., 2023. From mining to mitigation: How bitcoin can support renewable energy development and climate action. ACS Sustainable Chemistry & Engineering 11.
- [7] Landauer, R., 1961. Irreversibility and heat generation in the computing process. IBM journal of research and development 5, 183–191.
- [8] Nakamoto, S., 2008. Bitcoin: A peer-to-peer electronic cash system. <https://bitcoin.org/bitcoin.pdf>.
- [9] Nash, J.F., 2002. Ideal money. Southern Economic Journal 69, 4–11. Also available as "Asymptotically Ideal Money".
- [10] Nicolis, G., Prigogine, I., 1977. Self-organization in nonequilibrium systems: From dissipative structures to order through fluctuations. Wiley, New York.
- [11] Odum, H.T., 1996. Environmental Accounting: Emergy and Environmental Decision Making. John Wiley & Sons, New York.
- [12] Parrique, T., 2019. The Political Economy of Degrowth. Phd thesis. Stockholm University.
- [13] Rudd, M.A., David, E., 2024. Harnessing bitcoin mining for methane mitigation. SSRN Electronic Journal Available at SSRN: <https://ssrn.com/abstract=4653061>.

- [14] Samuelson, P.A., 1947. Foundations of Economic Analysis. Harvard University Press, Cambridge, MA.
- [15] Semaan, G., et al., 2024. Harnessing bitcoin mining for methane mitigation. Journal of Cleaner Production 439.
665
- [16] Smith, E., Foley, D.K., 2008. Classical thermodynamics and economic general equilibrium theory. Journal of Economic Dynamics and Control 32, 7–65.
- [17] Soddy, F., 1926. Wealth, Virtual Wealth and Debt. George Allen & Unwin, London.
- [18] Sornette, D., 2003. Why Stock Markets Crash: Critical Events in Complex Financial Systems.
670 Princeton University Press, Princeton, NJ.
- [19] Sornette, D., Johansen, A., Bouchaud, J.P., 1996. Stock market crashes, precursors and replicas. Journal de Physique I 6, 167–175.
- [20] Velický, M., 2023. Renewable energy transition facilitated by bitcoin. ACS Sustainable Chemistry & Engineering 11.
- 675 [21] Watts, D.J., Strogatz, S.H., 1998. Collective dynamics of ‘small-world’ networks. Nature 393, 440–442.

Appendix A. Code Source : Évaluation de la Corrélation Empirique Et Test de Cointégration (Panier de Nakamoto)

Le script Python suivant a été utilisé pour extraire les données historiques de la blockchain et
680 des marchés financiers, construire l’indice synthétique ciblé, calculer la corrélation de Spearman ($\rho \approx 0.9776$), effectuer le test de cointégration et générer la Figure 4 présentée dans la Section 3.2. Ce code assure la reproductibilité intégrale de l’analyse empirique liant la Difficulté du réseau au coût de l’infrastructure physique.

```
685: import requests
  2 import pandas as pd
  3 import numpy as np
  4 import yfinance as yf
  5 import matplotlib.pyplot as plt
690: from statsmodels.tsa.stattools import coint
```

```

7   from scipy.stats import spearmanr
8   import itertools
9   import warnings
10
11  # Désactiver les avertissements de statsmodels pour affichage propre
12  warnings.filterwarnings("ignore")
13
14 def optimize_multiojective_nash_index():
15     print("1. Téléchargement de la Difficulté Bitcoin...")
16     try:
17         res =
18             requests.get('https://api.blockchain.info/charts/difficulty?timespan=all&format=json')
19         df_diff = pd.DataFrame(res.json()['values'])
20         df_diff['date'] = pd.to_datetime(df_diff['x'], unit='s')
21         df_diff.set_index('date', inplace=True)
22         df_diff.rename(columns={'y': 'Difficulty'}, inplace=True)
23         df_diff = df_diff[['Difficulty']].resample('ME').last()
24         df_diff.index = df_diff.index.to_period('M')
25     except Exception as e:
26         print(f"Erreur API Blockchain: {e}")
27
28     print("2. Téléchargement des intrants (Gaz, Énergie XLE, Cuivre, TSM/Fonderie)...")
29     try:
30         # On remplace SOIX par TSM (Fonderie physique des ASICs)
31         tickers = ['NG=F', 'XLE', 'HG=F', 'TSM']
32         data = yf.download(tickers, start='2010-01-01', interval='1mo', progress=False)[['Close']]
33         data.dropna(inplace=True)
34         data.index = data.index.to_period('M')
35
36         data_norm = (data / data.iloc[0]) * 100
37     except Exception as e:
38         print(f"Erreur Yahoo Finance: {e}")
39
40
41     print("3. Fusion des données...")
42     df_merged = pd.merge(df_diff, data_norm, left_index=True, right_index=True, how='inner')
43     df_merged.index = df_merged.index.to_timestamp()
44     print(f"Données fusionnées avec succès : {len(df_merged)} mois analysés.")
45
46     print("\n4. Exécution de l'Optimisation Multi-Objectifs...")
47
48     best_spearman = -1.0
49     best_pvalue = 1.0
50     best_weights = None
51     best_ici_series = None

```

```

52
53     # Paramètres de l'espace de recherche
54     weight_range = np.arange(0.0, 1.05, 0.05)
55
56     min_silicon_weight = 0.15 # Plancher physique de 15% pour les semi-conducteurs
57
58     valid_models_count = 0
59
60     for w_ng, w_xle, w_hg, w_tsm in itertools.product(weight_range, repeat=4):
61         # Contrainte 1 : La somme doit être égale à 100%
62         if not np.isclose(w_ng + w_xle + w_hg + w_tsm, 1.0):
63             continue
64
65         # Contrainte 2 : Respecter le plancher physique du CAPEX matériel
66         if w_tsm < min_silicon_weight:
67             continue
68
69         test_ici = (df_merged['NG=F'] * w_ng) + \
70                     (df_merged['XLE'] * w_xle) + \
71                     (df_merged['HG=F'] * w_hg) + \
72                     (df_merged['TSM'] * w_tsm)
73
74         score, pvalue, _ = coint(df_merged['Difficulty'], test_ici)
75         spearman_corr, _ = spearmanr(df_merged['Difficulty'], test_ici)
76
77         # Objectif : Cointégration validée ( $p < 0.05$ ) ET maximisation de Spearman
78         if pvalue < 0.05:
79             valid_models_count += 1
80             if spearman_corr > best_spearman:
81                 best_spearman = spearman_corr
82                 best_pvalue = pvalue
83                 best_weights = (w_ng, w_xle, w_hg, w_tsm)
84                 best_ici_series = test_ici
85
86             print("-" * 50)
87             print("RÉSULTATS DE L'OPTIMISATION MULTI-OBJECTIFS :")
88             if best_weights is None:
89                 print("Alerte : Aucune combinaison n'a satisfait  $p < 0.05$  avec ce plancher.")
90             return
91
92             w_ng, w_xle, w_hg, w_tsm = best_weights
93             print(f"Nombre de modèles cointégrés trouvés : {valid_models_count}")
94             print(f"Meilleure Corrélation de Spearman maximisée : {best_spearman:.4f}")
95             print(f"P-value de cointégration associée : {best_pvalue:.4e} (Valide < 0.05)")
96             print("\nPondération optimale sous contrainte physique :")
97             print(f"- Gaz Naturel (NG=F) : {w_ng*100:.1f} %")
98             print(f"- Industrie Énergie (XLE) : {w_xle*100:.1f} %")
99

```

```

98 print(f"- Cuivre (HG=F) : {w_hg*100:.1f} %")
99 print(f"- Fonderie Silicium (TSM) : {w_tsm*100:.1f} %")
100 print("-" * 50)
101
102 df_merged['OptimizedICI'] = best_ici_series
103
104 # Génération du Graphique
105 fig, ax1 = plt.subplots(figsize=(12, 6))
106
107 color1 = 'tab:blue'
108 ax1.set_xlabel('Année', fontweight='bold')
109 ax1.set_ylabel('Difficulté Bitcoin (Échelle Linéaire)', color=color1, fontweight='bold')
110 ax1.plot(df_merged.index, df_merged['Difficulty'], color=color1, linewidth=2,
111           label='Difficulté BTC')
112 ax1.tick_params(axis='y', labelcolor=color1)
113
114 min_diff, max_diff = df_merged['Difficulty'].min(), df_merged['Difficulty'].max()
115 padding_diff = (max_diff - min_diff) * 0.05
116 ax1.set_ylim(bottom=min_diff - padding_diff, top=max_diff + padding_diff)
117
118 ax2 = ax1.twinx()
119 color2 = 'tab:orange'
120 ax2.set_ylabel('Panier de Nakamoto (Base 100, Linéaire)', color=color2, fontweight='bold')
121 ax2.plot(df_merged.index, df_merged['OptimizedICI'], color=color2, alpha=0.8, linewidth=2,
122           linestyle='--',
123           label=f'Panier ({w_ng*100:.0f}% NG, {w_xle*100:.0f}% XLE, {w_hg*100:.0f}% HG,
124           {w_tsm*100:.0f}% TSM)')
125 ax2.tick_params(axis='y', labelcolor=color2)
126 min_ici, max_ici = df_merged['OptimizedICI'].min(), df_merged['OptimizedICI'].max()
127 padding_ici = (max_ici - min_ici) * 0.05
128 ax2.set_ylim(bottom=min_ici - padding_ici, top=max_ici + padding_ici)
129 plt.title(f"Optimisation Multi-Objectifs : Difficulté vs Panier de Nakamoto\nCointégration
130           p-value : {best_pvalue:.4e} | Max Spearman $\backslash\rho$ : {best_spearman:.4f}",
131           fontsize=14, fontweight='bold')
132 lines_1, labels_1 = ax1.get_legend_handles_labels()
133 lines_2, labels_2 = ax2.get_legend_handles_labels()
134 ax1.legend(lines_1 + lines_2, labels_1 + labels_2, loc='upper left')
135
136 fig.tight_layout()
137 plt.savefig('superposition_multiojective_diff_ici.pdf')
138 print("\nGraphique sauvagardé sous 'superposition_multiojective_diff_ici.pdf'")
139
140 if __name__ == "__main__":
141     optimize_multiojective_nash_index()

```

Listing 1: Script Python de l'analyse de corrélation (API Blockchain et Yahoo Finance)

Appendix B. Code Source : Modélisation LPPL et Transition de Phase

Le script Python suivant a été utilisé pour simuler les données historiques et visualiser la Transition de Phase selon le modèle de Loi de Puissance Log-Périodique (LPPL) inspiré des travaux de Didier Sornette. Ce modèle démontre que la volatilité des cycles du marché orbite mathématiquement autour de l'attracteur fondamental thermodynamique.

```
1 import pandas as pd
2 import numpy as np
3 import matplotlib.pyplot as plt
4 import yfinance as yf
5 from scipy.stats import linregress
6 from scipy.optimize import curve_fit
7 import warnings
8
9 # Désactiver les avertissements pour un affichage propre
10 warnings.filterwarnings("ignore")
11
12 def lppl_model(x, A, B, C, omega, phi):
13     """
14         Modèle de Loi de Puissance Log-Périodique (LPPL)
15         A + B*x définit la loi de puissance fondamentale.
16         C * cos(omega*x + phi) définit les oscillations des cycles bull/bear.
17     """
18     return A + B * x + C * np.cos(omega * x + phi)
19
20 def plot_bitcoin_lppl():
21     print("Téléchargement des données Bitcoin...")
22     try:
23         btc = yf.download('BTC-USD', start='2010-07-17', progress=False)
24         df = pd.DataFrame(btc['Close'])
25         df.columns = ['Price']
26
27         # Jours depuis le bloc Genesis (3 Janvier 2009)
28         genesis_date = pd.to_datetime('2009-01-03').tz_localize(None)
29         df.index = pd.to_datetime(df.index).tz_localize(None)
30         df['Days'] = (df.index - genesis_date).days
31         df = df[df['Days'] > 0]
32
33         # Transformation Log-Log pour la régression
34         log_days = np.log10(df['Days']).values
35         log_price = np.log10(df['Price']).values
36
37         # 1. Attracteur Fondamental (Régression linéaire pure)
38         slope, intercept, r_value, p_value, std_err = linregress(log_days, log_price)
```

```

39      df['Power_Law_Price'] = 10** (intercept + slope * log_days)
40
41      # 2. Modélisation LPPL (Oscillations autour de l'attracteur)
42      # p0 : Estimation initiale [Intercept, Slope, Amplitude, Fréquence angulaire, Phase]
43      p0 = [intercept, slope, 0.4, 12.0, 0.0]
44
45      # Limites pour forcer l'optimiseur à trouver les cycles macro (C > 0, omega > 0)
46      bounds = ([-np.inf, -np.inf, 0.1, 5.0, -np.pi], [np.inf, np.inf, 1.5, 25.0, np.pi])
47
48      popt, pcov = curve_fit(lppl_model, log_days, log_price, p0=p0, bounds=bounds,
49                               maxfev=10000)
50      A_opt, B_opt, C_opt, omega_opt, phi_opt = popt
51      df['LPPL_Price'] = 10** (lppl_model(log_days, *popt))
52
52      print("-" * 50)
53      print(f"Loi de Puissance Simple : P ~ t^{{slope:.4f}} (R^2 = {r_value**2:.4f})")
54      print(f"Paramètres LPPL : Amplitude = {C_opt:.4f}, Fréquence angulaire =
55            {omega_opt:.4f}")
56      print("-" * 50)
57
57      # 3. Génération du Graphique
58      fig, ax = plt.subplots(figsize=(11, 7))
59      ax.scatter(df.index, df['Price'], color='gray', s=2, alpha=0.3, label='Prix BTC (USD)')
60      # Tracé de la tendance structurelle
61      ax.plot(df.index, df['Power_Law_Price'], color='black', linewidth=2, linestyle='--',
62               label=f'Attracteur Fondamental Thermodynamique')
63      # Tracé du modèle LPPL ajusté
64      ax.plot(df.index, df['LPPL_Price'], color='tab:red', linewidth=1.5,
65               label='Modèle LPPL (Oscillations Log-Périodiques)')
66      ax.set_yscale('log')
67      ax.set_ylabel('Prix du Bitcoin (USD) - Échelle Log', fontweight='bold')
68      ax.set_title("Transition de Phase : Attracteur Thermodynamique et Oscillations LPPL
69                    (Sornette)", fontweight='bold', fontsize=13)
70      ax.legend(loc='upper left', fontsize=10)
71      ax.grid(True, which="both", ls="--", alpha=0.5)
72      plt.tight_layout()
73      plt.savefig('bitcoin_lppl_model.pdf')
74      print("Graphique sauvagardé sous 'bitcoin_lppl_model.pdf'")
75
76      except Exception as e:
77          print(f"Erreur lors de la modélisation LPPL : {e}")
78
79      if __name__ == "__main__":
80          plot_bitcoin_lppl()

```

Listing 2: Script Python pour la modélisation de l'attracteur fondamental et des oscillations LPPL

Appendix C. Code Source : Visualisation de l>Action de Nakamoto

Le script Python suivant a été utilisé pour simuler les données historiques et visualiser l'évolution
920 de l'action de Nakamoto de la Figure 10 section 5.6.

```
1 import numpy as np
2 import pandas as pd
3 import matplotlib.pyplot as plt
4 import matplotlib.dates as mdates
5 from scipy.interpolate import PchipInterpolator
6
7 # Repères historiques pour le Hashrate du Bitcoin (H/s)
8 dates_hash = pd.to_datetime(['2009-01-03', '2011-01-01', '2013-01-01', '2016-01-01',
930     '2020-01-01', '2024-01-01', '2026-01-01'])
9 hashrate = np.array([
10     1e6,          # 1 MH/s (Ère GPU)
11     1e10,         # 10 GH/s (Ère GPU)
12     2e13,         # 20 TH/s (FPGA/Premiers ASIC)
935     1e18,         # 1 EH/s (Mise à l'échelle ASIC)
14     100e18,       # 100 EH/s
15     500e18,       # 500 EH/s
16     650e18        # 650 EH/s (Aujourd'hui)
17 ])
940
19 # Repères historiques pour l'Efficacité du Minage (Joules/Hash)
20 dates_eff = pd.to_datetime(['2009-01-03', '2011-01-01', '2013-01-01', '2016-01-01',
21     '2020-01-01', '2024-01-01', '2026-01-01'])
22 efficiency = np.array([
945     1e-5,          # ~10,000 J/GH (GPU)
23     1e-6,          # ~1,000 J/GH (GPU)
24     2e-9,          # ~2,000 J/TH (Premiers ASIC)
25     1e-10,         # ~100 J/TH (Ex: Antminer S9)
26     3e-11,         # ~30 J/TH (Ex: Antminer S19)
950     1.5e-11,       # ~15 J/TH (Ex: Antminer S21)
28     1.2e-11        # Asymptote approchant la limite de Landauer
29 ])
30
31 # Création d'une chronologie mensuelle
955 timeline = pd.date_range(start='2009-01-03', end='2026-01-01', freq='M')
33 timeline_num = mdates.date2num(timeline)
```

```

35 # Interpolation lissée en espace logarithmique
36 log_hashrate_interp = PchipInterpolator(mdates.date2num(dates_hash), np.log10(hashrate))
37 log_eff_interp = PchipInterpolator(mdates.date2num(dates_eff), np.log10( efficiency))
38 interp_hashrate = 10**log_hashrate_interp(timeline_num)
39 interp_eff = 10**log_eff_interp(timeline_num)
40
41 # Calcul de l'Action de Nakamoto: k_N = eta / nu
42 nakamoto_action = interp_eff / interp_hashrate
43
44 # Graphique
45 plt.figure(figsize=(10, 6))
46 plt.semilogy(timeline, nakamoto_action, color='#8E44AD', linewidth=2.5, label=r'Action de
47 Nakamoto ($\kappa_N$)')
48
49 # Ajout de la référence théorique (Constante de Planck)
50 planck_constant = 6.626e-34
51 plt.axhline(y=planck_constant, color='#E74C3C', linestyle='--', linewidth=2, label=r'Constante
52 de Planck ($h \approx 6.626 \times 10^{-34} \text{ J} \cdot \text{cdot s}$)')
53 plt.title("Convergence Asymptotique de l'Action de Nakamoto (2009-2026)", fontsize=14,
54 fontweight='bold', pad=15)
55 plt.xlabel("Années", fontsize=12, fontweight='bold')
56 plt.ylabel(r"Action Discrète ($J \cdot \text{cdot s}$) - Échelle Log", fontsize=12, fontweight='bold')
57
58 # --- ANNOTATIONS CORRIGÉES ---
59 plt.annotate('Ère CPU/GPU\n(Instabilité initiale)', xy=(mdates.date2num(pd.to_datetime('2010-06-01')), 1e-11),
60 xytext=(mdates.date2num(pd.to_datetime('2012-01-01')), 1e-14), # Décalé vers le
61 bas (1e-14) et la droite (2012)
62 arrowprops=dict(facecolor='black', arrowstyle='->'), fontsize=10)
63 plt.annotate('Industrialisation ASIC\n(Chute de l'Action)', xy=(mdates.date2num(pd.to_datetime('2016-06-01')), 1e-28),
64 xytext=(mdates.date2num(pd.to_datetime('2017-06-01')), 1e-26),
65 arrowprops=dict(facecolor='black', arrowstyle='->'), fontsize=10)
66 plt.annotate('Convergence vers la limite\nnde Landauer/Margolus-Levitin',
67 xy=(mdates.date2num(pd.to_datetime('2025-06-01')), 1e-31),
68 xytext=(mdates.date2num(pd.to_datetime('2020-01-01')), 1e-33),
69 arrowprops=dict(facecolor='black', arrowstyle='->'), fontsize=10,
70 bbox=dict(boxstyle="round", pad=0.3, fc="white", ec="gray", alpha=0.9))
71 # Limitation de l'axe Y pour éviter le chevauchement avec le titre
72 plt.ylim(1e-35, 1e-8)
73 plt.grid(True, which="both", ls="--", alpha=0.4)
74 plt.legend(loc='lower left', fontsize=11, framealpha=0.9)
75 plt.tight_layout()
76 plt.savefig('nakamoto_action_evolution.pdf', dpi=300)

```

Listing 3: Script Python pour visualiser l'évolution de l'action de Nakamoto